

Bild C1: Radialgitter (Siemenssterne) N-W, W-N, N-Z und W-Z; PS-Operator: $nnn0^*lin\ 1.0\ exp\ setcmykcolor$

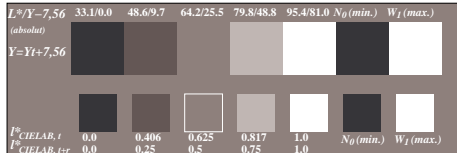


Bild C2: 5 visuell gleichabständige L^* -Graustufen + N_0 + W_1 ; PS-Operator: $nnn0^*lin\ 1.0\ exp\ setcmykcolor$

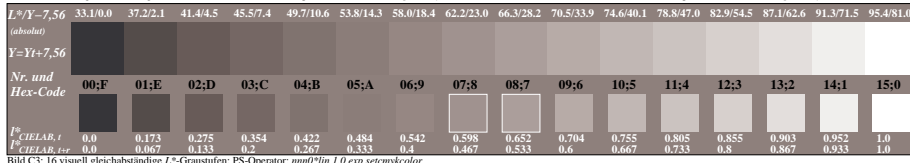


Bild C3: 16 visuell gleichabständige L^* -Graustufen; PS-Operator: $nnn0^*lin\ 1.0\ exp\ setcmykcolor$

ISO/IEC 15775 und
DIS ISO/IEC 19839-X;

input: $nnn0^*lin\ 1.0\ exp\ setcmykcolor$
output: $nnn0^*lin\ 1.0\ exp\ setcmykcolor$

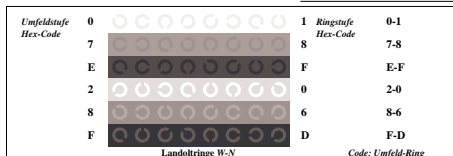


Bild C4: Landoltringe W-N; PS-Operator: $nnn0^*lin\ 1.0\ exp\ setcmykcolor$

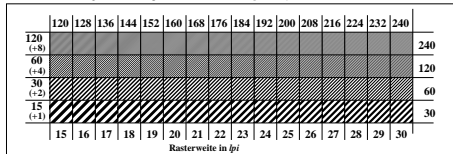


Bild C5: Linienraster unter 45° (oder 135°); PS-Operator: $nnn0^*lin\ 1.0\ exp\ setcmykcolor$

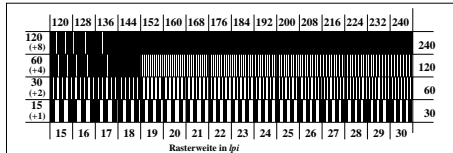


Bild C6: Linienraster unter 90° (oder 0°); PS-Operator: $nnn0^*lin\ 1.0\ exp\ setcmykcolor$